

# Astrofizički nuklearni procesi na konačnoj temperaturi

Ante Ravlić,  
Mentor: prof. dr. sc. Nils Paar

Fizički odsjek, PMF, Bijenička c. 32, 10000 Zagreb  
E-mail: aravlic@dominis.phy.hr

- Opis procesa uhvata elektrona na jezgrama u unutrašnjosti zvijezde koja prethodi eksploziji supernove
- Veličine koje opisuju svojstva zvijezde pred eksploziju supernove: entropija sredice te omjer broja elektrona i bariona  $Y_e$  [1]
- Za gustoće zvjezdane materije  $\sim 10^{11}$  g/cm<sup>3</sup> te temperature između 300 i 800 keV, uhvat elektrona se događa na zvijezdama mase  $A \sim 60 \rightarrow$  uhvat elektrona ovisi o raspodjeli Gamow-Teller (GT) prijelazne snage [2]
- Porastom temperature počinje proces uhvata na masivnijim jezgrama
- izložimo teorijski model koji se zasniva na RMF<sup>1</sup> + FTRRPA<sup>2</sup> sa potencijalom koji je ovisan o gustoći

---

<sup>1</sup>Relativistic mean field (eng.)

<sup>2</sup>Finite temperature relativistic  
random phase approximation (eng.)

# Relativistička teorija srednjeg polja (RMFT)

- Efektivna teorija polja koja se bazira na kvantnoj hadrodinamici (QHD):
  - nukleoni  $\rightarrow$  Diracove čestice
  - mezoni  $\rightarrow$  Klein-Gordonovo polje
  - interakcija između mezona i nukleona
- Ukupna gustoća Lagrangiana je dana s [3, 4, 5]

$$\mathcal{L} = \mathcal{L}_N + \mathcal{L}_m + \mathcal{L}_{int}, \quad (1)$$

gdje sa  $\mathcal{L}_N$  označavamo gustoću Lagrangiana nukleona

$$\mathcal{L}_N = \bar{\psi}(i\gamma_\mu\partial^\mu - m)\psi. \quad (2)$$

Sa  $m$  je označena "gola" masa nukleona, a  $\psi$  je Diracov spinor

- Mezonski dio Lagrangiana (1) opisujemo s

$$\begin{aligned}\mathcal{L}_m = & \frac{1}{2}\partial_\mu\sigma\partial^\mu\sigma - \frac{1}{2}m_\sigma^2\sigma^2 - \frac{1}{2}\Omega_{\mu\nu}\Omega^{\mu\nu} \\ & + \frac{1}{2}m_\omega^2\omega_\mu\omega^\mu - \frac{1}{4}\vec{R}_{\mu\nu}\vec{R}^{\mu\nu} + \frac{1}{2}m_\rho^2\vec{\rho}_\mu\vec{\rho}^\mu \\ & - \frac{1}{4}F_{\mu\nu}F^{\mu\nu},\end{aligned}\quad (3)$$

gdje su  $m_\sigma, m_\omega, m_\rho$  mase  $\sigma$ -,  $\omega$ - i  $\rho$ - mezona, a tenzori polja su dani s

$$\Omega_{\mu\nu} = \partial_\mu\omega_\nu - \partial_\nu\omega_\mu, \quad (4)$$

$$\vec{R}_{\mu\nu} = \partial_\mu\vec{\rho}_\nu - \partial_\nu\vec{\rho}_\mu, \quad (5)$$

$$F_{\mu\nu} = \partial_\mu A_\nu - \partial_\nu A_\mu. \quad (6)$$

- Lagrangian interakcije je dan s

$$\begin{aligned}\mathcal{L}_{int} = & -g_{\sigma}\bar{\psi}\psi\sigma - g_{\omega}\bar{\psi}\gamma^{\mu}\psi\omega_{\mu} \\ & - g_{\rho}\bar{\psi}\vec{\tau}\gamma^{\mu}\psi\vec{\rho}_{\mu} - e\bar{\psi}\gamma^{\mu}\psi A_{\mu},\end{aligned}\tag{7}$$

gdje su  $g_{\sigma}, g_{\omega}, g_{\rho}$  konstante vezanja mezona, a  $e$  "goli" naboj elektrona.

- Za konzistentan opis osnovnog stanja parno-parnih jezgara dovoljno je promatrati minimalno vezanje s 3 vrste mezona:
  - izoskalarni-skalarni  $\sigma$  mezon,
  - izoskalarni-vektorski  $\omega$  mezon,
  - izovektorski-vektorski  $\rho$  mezon

- Uvodimo izoskalarnu-skalarnu gustoću, izoskalarnu-vektorsku struju, izovektorsku-vektorsku struju, te elektromagnetsku struju na konačnoj temperaturi kao [3, 4, 5]

$$\begin{aligned} \rho_s(\mathbf{r}) &= \sum_{i=1}^A f_i \bar{\psi}_i(\mathbf{r}) \psi_i(\mathbf{r}), & j_\mu(\mathbf{r}) &= \sum_{i=1}^A f_i \bar{\psi}_i(\mathbf{r}) \gamma_\mu \psi_i(\mathbf{r}), \\ \vec{j}_\mu &= \sum_{i=1}^A f_i \bar{\psi}_i(\mathbf{r}) \vec{\tau} \gamma_\mu \psi_i(\mathbf{r}), & j_{p\mu} &= \sum_{i=1}^Z f_i \psi_i^\dagger(\mathbf{r}) \gamma_\mu \psi_i(\mathbf{r}) \end{aligned} \quad (8)$$

- Efekte konačne temperature opisujemo sa Fermi-Diracovom raspodjelom

$$f_i = \frac{1}{1 + e^{(1/kT)(\epsilon_i - \mu)}}, \quad (9)$$

pri čemu je  $\mu$  kemijski potencijal nukleona kojeg dobivamo iz uvjeta  $\sum_i f_i = Z(N)$ , gdje je ovisno o nukleonu  $Z$  broj protona, a  $N$  broj neutrona.

- Ukupnu energiju dobijemo integracijom ukupne gustoće Hamiltonijana

$$E_{RMF}[\psi, \bar{\psi}, \sigma, \omega^\mu, \vec{\rho}^\mu, A^\mu] = \int d^3r \mathcal{H}(\mathbf{r}). \quad (10)$$

- Varijacijom izraza (10) po odgovarajućim poljima dobivamo sustave jednačbi za nukleonska (11), mezonska (12) i EM polja (13)

$$\hat{h}_D \psi_i = \epsilon_i \psi_i, \quad (11)$$

$$\begin{aligned} [-\Delta + m_\sigma^2] \sigma &= -g_\sigma \rho_s, & [-\Delta + m_\omega^2] \omega^\mu &= g_\omega j^\mu, \\ [-\Delta + m_\rho^2] \rho^{\vec{\mu}} &= g_\rho \vec{j}^\mu, \end{aligned} \quad (12)$$

$$-\Delta A^\mu = e j_p^\mu. \quad (13)$$

- Dodatni član u Diracovoj jednažbi (11) zbog ovisnosti o gustoći konstanti vezanja sada glasi

$$\Sigma_0^R = \frac{\partial g_\sigma}{\partial \rho_\nu} \rho_\sigma \sigma + \frac{\partial g_\omega}{\partial \rho_\nu} \rho_\nu \omega + \frac{\partial g_\omega}{\partial \rho_\nu} \rho_{t\nu} \rho, \quad (14)$$

pri čemu je  $\rho_{t\nu}$  izovektorska gustoća

- Vezanje  $\sigma$ - i  $\omega$ -mezona na nukleonska polja glasi

$$g_i(\rho) = g_i(\rho_{sat}) f_i(x) \quad , i = \sigma, \omega, \quad (15)$$

gdje

$$f_i(x) = a_i \frac{1 + b_i(x + d_i)^2}{1 + c_i(x + d_i)^2}, \quad (16)$$

je funkcija  $x = \rho/\rho_{sat}$ , a  $\rho_{sat}$  je gustoća bariona pri zasićenju simetrične nuklearne materije



- Za  $\rho$ -mezone vezanje parametriziramo u obliku

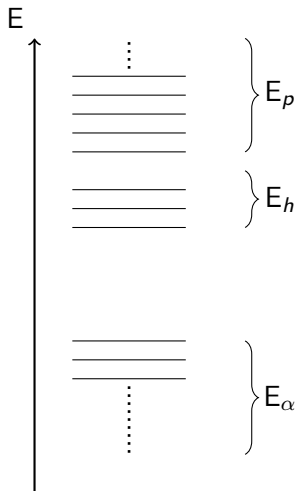
$$g_\rho = g_\rho(\rho_{sat})e^{-a_\rho(x-1)}. \quad (17)$$

Parametri se naštimavaju tako da reproduciraju svojstva simetrične i asimetrične nuklearne materije, energije vezanja, radijuse naboja i neutrona sferičnih jezgara. Energijski funkcional koji koristimo u kodu je DD-ME2 [4, 6].

- Jednadžbe za Diracova (11) i mezonska polja (12) se rješavaju razvojem po bazi harmoničkog oscilatora, a Poissonovu jednadžbu (13) rješavamo metodom Greenovih funkcija

## RMF kod

→ jednočestična nuklearna stanja i faktori zauzeća na konačnoj temperaturi !



Slika: Prikaz energijskih nivoa kod RRPA

- Krećemo od RMFT rješenja za osnovno stanje od kojih gradimo čestica-šupljina ( $ph$ ), ili antičestica-šupljina ( $\alpha h$ ) parove
- broj stanja je određen maksimalnom  $ph$  energijom ( $\epsilon_p - \epsilon_h \leq E_{max}$ ), minimalnom  $\alpha h$  energijom  $\epsilon_\alpha - \epsilon_h \geq E_{min}$ , te selekcijskim pravilima
- Od dobivene baze gradimo neperturbirani operator polarizacije  $\Pi^0$  ili RRPA matricu

RRPA jednadžbe gibanja možemo dobiti na više načina

- Jednadžba gibanja (EoM) → najjednostavniji izbor za nerelativistički RPA
- Vremenski ovisan RMF → rješavamo jednadžbu za matricu gustoće

$$i\partial_t \hat{\rho} = [\hat{h}(\hat{\rho}) + \hat{f}(t), \hat{\rho}], \quad (18)$$

uz razvoj  $\hat{\rho}(t) = \hat{\rho}^0 + \delta\hat{\rho}(t)$ , pri čemu je  $\hat{f}$  vanjska harmonička smetnja, a  $\hat{h}$  Hamiltonijan ovisan o gustoći

- Pomoću teorije linearnog odziva i funkcije polarizacije [9]

$$R(F, F; \mathbf{k}, \omega) = \frac{1}{\pi} \text{Im} \Pi(F, F; \mathbf{k}, \omega) \quad (19)$$

- Stanje  $|\psi^J\rangle$  multipolariteta  $J$  možemo pisati kao [7]

$$|\psi^J\rangle = \sum_{p,h} (X_{ph}^J a_p^\dagger a_h - Y_{ph}^J a_h^\dagger a_p) |0\rangle. \quad (20)$$

- Proton-neutron FTRRPA jednadžbe se mogu zapisati u matičnom obliku [2]

$$\begin{pmatrix} A_{pnp'n'}^J & B_{pnp'n'} \\ -B_{pnp'n'}^J & -A_{pnp'n'}^J \end{pmatrix} \begin{pmatrix} X_{p'n'}^J \\ Y_{p'n'}^J \end{pmatrix} = \omega_\nu \begin{pmatrix} X_{pn}^J \\ Y_{pn}^J \end{pmatrix}, \quad (21)$$

gdje su  $A$  i  $B$  matični elementi rezidualne interakcije [2]

$$\begin{aligned} A_{pnp'n'}^J &= (\epsilon_P - \epsilon_H) \delta_{pp'} \delta_{nn'} \\ &+ V_{pn'np'}^J (\tilde{u}_p \tilde{v}_n \tilde{u}_{p'} \tilde{v}_{n'} + \tilde{v}_p \tilde{u}_n \tilde{v}_{p'} \tilde{u}_{n'}) (|f_{n'} - f_{p'}|), \end{aligned} \quad (22)$$

$$B_{pnp'n'}^J = V_{pn'np'}^J (\tilde{u}_p \tilde{v}_n \tilde{v}_{p'} \tilde{u}_{n'} + \tilde{v}_p \tilde{u}_n \tilde{u}_{p'} \tilde{v}_{n'}) (|f_{p'} - f_{n'}|). \quad (23)$$

- Stanja  $p$  i  $n$  označavaju protone i neutrone

- Faktori  $f_{p(n)}$  označavaju vjerojatnosti zauzeća za protone i neutrone. Dani su Fermi-Dirac raspodjelom (9)
- Faktore  $\tilde{u}$  i  $\tilde{v}$  uvodimo kako bismo razlikovali  $GT^+$  i  $GT^-$  kanale, odnosno [2]

$$\tilde{u}_p = 0, \tilde{v}_p = 1, \tilde{u}_n = 1, \tilde{v}_n = 0, \text{ kada } f_p > f_n, \quad (24)$$

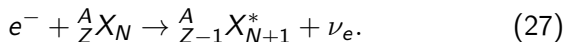
$$\tilde{u}_p = 1, \tilde{v}_p = 0, \tilde{u}_n = 0, \tilde{v}_n = 1, \text{ kada } f_p < f_n. \quad (25)$$

- Vjerojatnosti prijelaza za  $GT^+$  operator računamo iz [2]

$$B_J^{T^+} = \left| \sum_{pn} (X_{pn}^J \tilde{v}_p \tilde{u}_n + Y_{pn}^J \tilde{u}_p \tilde{v}_n) \langle p || T^+ || n \rangle (|f_n - f_p|) \right|^2, \quad (26)$$

gdje su Gamow-Teller operatori prijelaza  $T^+ = \sum \sigma \tau_+$ .

- Uхват elektrona na jezgri možemo opisati s



## Fermijevo zlatno pravilo

Udarni presjek računamo krećući od Fermijevog zlatnog pravila za prijelaz iz početnog stanja  $|i\rangle$  u konačno stanje  $|f\rangle$

$$\frac{d\sigma}{d\Omega} = 2\pi |\langle f | \hat{H}_W | i \rangle|^2 V \frac{E_\nu dE_\nu}{(2\pi)^3} \delta(W_f - W_i) / \frac{1}{V}, \quad (28)$$

gdje  $V \frac{E_\nu dE_\nu}{(2\pi)^3}$  je broj stanja neutrina u intervalu  $E_\nu \sim E_\nu + dE_\nu$ , a tok elektrona je  $1/V$ ,  $\delta(W_f - W_i)$  osigurava sačuvanje energije.

- Izraz (28) usrednjimo po početnim i zbrojimo po konačnim stanjima spina, te nakon sređivanja izraza imamo

$$\frac{d\sigma}{d\Omega} = \frac{1}{(2\pi)^2} V^2 E_\nu^2 \frac{1}{2} \sum_{lept.spin.} \frac{1}{2J_i + 1} \sum_{M_i, M_f} |\langle f | \hat{H}_W | i \rangle|^2. \quad (29)$$

- Hamiltonijan slabe interakcije  $\hat{H}_W$  možemo prikazati preko [10]

$$H_W = -\frac{G}{\sqrt{2}} \int d^3x \mathcal{J}_\lambda(\mathbf{x}) j_\lambda(\mathbf{x}), \quad (30)$$

gdje je  $\mathcal{J}_\lambda$  nuklearna, a  $j_\lambda$  leptonska struja, a  $G$  konstanta vezanja

Izvodom opisanim u seminaru dolazimo do [2, 10]

$$\begin{aligned}
 \frac{d\sigma}{d\Omega} = & \frac{G^2 \cos^2 \theta_c}{2\pi} \frac{F(Z, E_e)}{2J_i + 1} \left\{ \sum_{J \geq 1} \mathcal{W}(E_e, E_\nu) \right. \\
 & \times \left\{ [1 - (\hat{\nu} \cdot \hat{\mathbf{q}})(\beta \cdot \hat{\mathbf{q}})] \left[ |\langle J_f | \hat{T}_J^{mag} | J_i \rangle|^2 \right. \right. \\
 & \left. \left. + |\langle J_f | \hat{T}_J^{el} | J_i \rangle|^2 \right] - 2\hat{\mathbf{q}} \cdot (\hat{\nu} - \beta) \right. \\
 & \left. \times \operatorname{Re} \langle J_f | \hat{T}_J^{mag} | J_i \rangle \langle J_f | \hat{T}_J^{el} | J_i \rangle^* \right\} \\
 & + \sum_{J \geq 0} \mathcal{W}(E_e, E_\nu) \left\{ [1 - \hat{\nu} \cdot \beta + 2(\hat{\nu} \cdot \hat{\mathbf{q}})(\beta \cdot \hat{\mathbf{q}})] \right. \\
 & \times \left[ |\langle J_f | \hat{\mathcal{L}}_J | J_i \rangle|^2 + (1 + \hat{\nu} \cdot \beta) |\langle J_f | \hat{\mathcal{M}}_J | J_i \rangle|^2 \right. \\
 & \left. \left. - 2\hat{\mathbf{q}} \cdot (\hat{\nu} + \beta) \operatorname{Re} \langle J_f | \hat{\mathcal{L}}_J | J_i \rangle \langle J_f | \hat{\mathcal{M}}_J | J_i \rangle^* \right] \right\}.
 \end{aligned} \tag{31}$$



- Sa  $\mathbf{q} = \boldsymbol{\nu} - \mathbf{k}$  smo označili razliku između impulsa neutrina i elektrona, a  $\hat{\boldsymbol{\nu}}$  i  $\hat{\mathbf{q}}$  su odgovarajući jedinični vektori. Nadalje  $\boldsymbol{\beta} = \mathbf{k}/E_e$ . Energija nadolazećeg elektrona je  $E_e$ , a izlaznog neutrina  $E_\nu$ . Fermijeva funkcija  $F(Z, E_e)$  uzima u obzir distorziju elektronskih valnih funkcija zbog kulonskog potencijala jezgre, a definirana je u [11].
- Član

$$\mathcal{W}(E_e, E_\nu) = \frac{E_\nu^2}{1 + E_e/M_T(1 - \hat{\boldsymbol{\nu}} \cdot \boldsymbol{\beta})}, \quad (32)$$

uzima u obzir odboj jezgre, a  $M_T$  je masa jezgre mete. U našem računu ćemo uzeti više multipola prilikom izračuna udarnog presjeka

- Stopu uhvata računamo kao [2]

$$\lambda_{ec} = \frac{1}{\pi^2 \hbar^3} \int_{E_e^0}^{\infty} p_e E_e \sigma_{ec}(E_e) f(E_e, \mu_e, T) dE_e, \quad (33)$$

$E_e^0 = \max(|Q_{if}|, m_e c^2) \rightarrow$  minimalna energija elektrona koja dozvoljava proces uhvata,  $Q_{if} = -E_{RPA} - \Delta_{np} \rightarrow \Delta_{np}$  je razlika između mase neutrona i protona,  $f(E_e, \mu_e, T) \rightarrow$  Fermi-Diracova raspodjela (9) gdje je  $T$  temperatura, a  $\mu_e$  kemijski potencijal elektrona

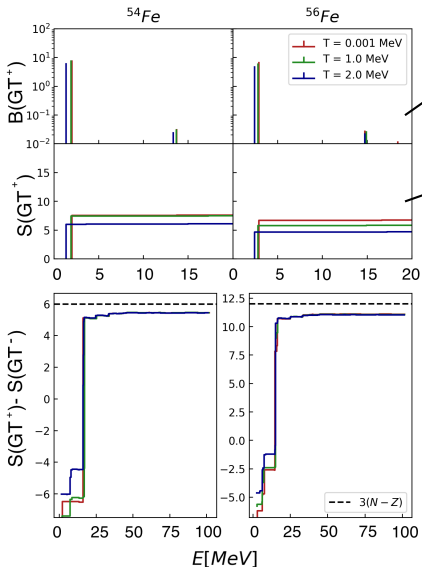
- Kemijski potencijal određujemo invertiranjem relacije [2]

$$\rho Y_e = \frac{1}{\pi^2 N_A} \left( \frac{m_e c}{\hbar} \right)^3 \int_0^{\infty} (f_e - f_{e+}) p^2 dp, \quad (34)$$

gdje je  $\rho$  gustoća bariona,  $Y_e$  omjer broja elektrona i bariona,  $N_A$  je Avogadrova konstanta, a  $f_{e+}$  je Fermi-Diracova raspodjela pozitrona (9)

# Gamow-Teller prijelazi pri konačnoj temperaturi

Slika: Gamow-Teller raspodjela prijelazne snage za  $^{54,56}\text{Fe}$



Vrhovi na energijama  $E_{RPA} = 2.42$  MeV i  $14.74$  MeV koji odgovaraju prijelazima  $\pi 1f_{7/2} \rightarrow \nu 1f_{5/2}$ , te  $\pi 1f_{7/2} \rightarrow \nu 2f_{5/2}$  za  $^{54}\text{Fe}$

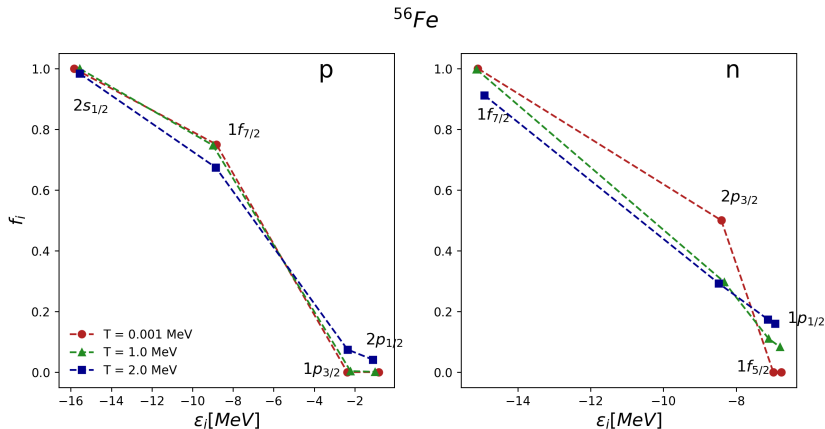
Kumulativna suma po spektru stanja

Ikada pravilo sume

$$S(\text{GT}^+) - S(\text{GT}^-) = 3(N - Z),$$

$N$  - broj neutrona,  $Z$  - broj protona

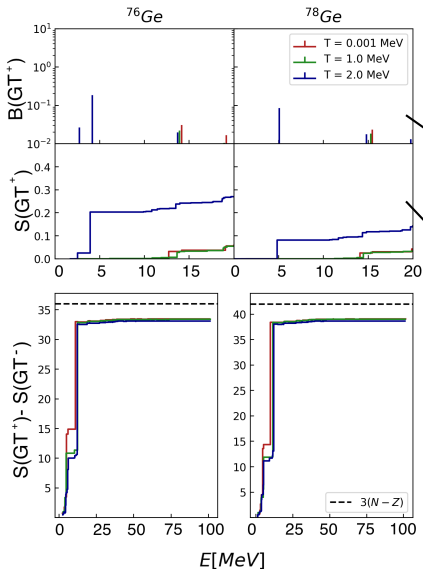
# Gamow-Teller prijelazi pri konačnoj temperaturi



**Slika:** Faktori zauzeća  $f_i$  protona (neutrona) izotopa  $^{56}\text{Fe}$  u odnosu na jednočestične energije  $\epsilon_i$ . Jasno vidimo utjecaj temperature koji smanjuje zauzeće stanja  $1f_{7/2}$  u korist stanja  $2p_{1/2}$  i  $1p_{3/2}$  ( $1f_{7/2}$  i  $2p_{3/2}$  u korist stanja  $1f_{5/2}$  i  $2p_{1/2}$ )

# Gamow-Teller prijelazi pri konačnoj temperaturi

Slika: Gamow-Teller raspodjela prijelazne snage za  $^{76}\text{Ge}$ ,  $^{78}\text{Ge}$

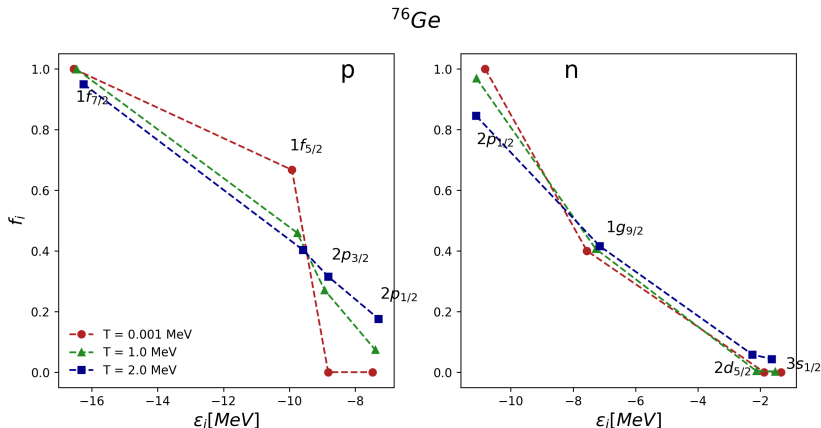


Dva vrha na  $E_{RPA} = 2.73$  MeV i  $4.17$  MeV kod  $^{76}\text{Ge}$  koji odgovaraju prijelazima  $\pi 1f_{7/2} \rightarrow \nu 1f_{5/2}$ , te  $\pi 1g_{9/2} \rightarrow \nu 1g_{7/2}$ . Za  $^{78}\text{Ge}$  uočavamo jedan vrh na  $E_{RPA} = 5.08$  MeV

Kumulativna suma po spektru stanja

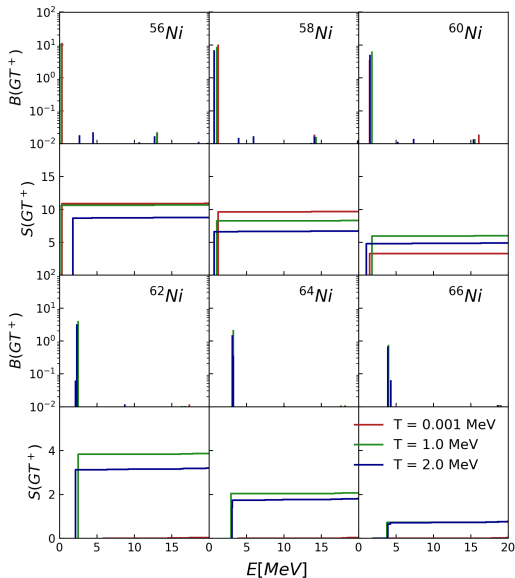
Termalno deblokiranje stanja !

# Gamow-Teller prijelazi pri konačnoj temperaturi



**Slika:** Faktori zauzeća  $f_i$  protona (neutrons) izotopa  $^{76}\text{Ge}$  u odnosu na jednočestične energije  $\epsilon_i$ . Vidimo utjecaj temperature koji smanjuje zauzeće stanja  $1f_{5/2}$  u korist stanja  $2p_{3/2}$  i  $2p_{1/2}$  ( $2p_{1/2}$  u korist stanja  $1g_{9/2}$  i  $2d_{5/2}$ )

# Gamow-Teller prijelazi pri konačnoj temperaturi



**Slika:** Gamow-Teller raspodjela za izotope nikla na različitim temperaturama. Prikazani su  $GT^+$  spektar snaga i kumulativna suma po spektru stanja  $S(GT^+)$ . Ikada pravilo sume je zadovoljeno do na  $\sim 92\%$ . U  $GT^+$  raspodjeli se jasno uočava vrh na nižim energijama koji odgovara prijelazu  $\pi 1f_{7/2} \rightarrow \nu 1f_{5/2}$ .

Kod  $^{62}\text{Ni}$  dolazi do nestajanja vrha na temperaturi nula

# Udarni presjeci u hvata elektrona

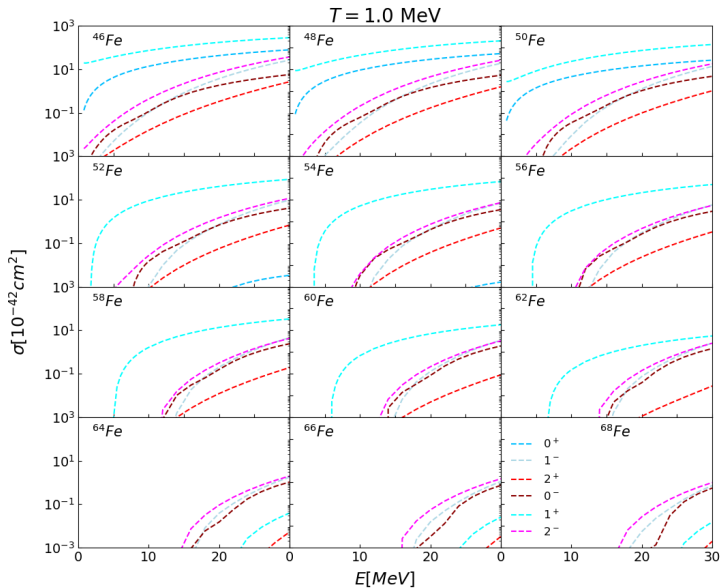
- Rezultate ćemo predstaviti za izotope nikla, željeza i germanija
- U računu ćemo u obzir uzeti  $J^\pi = 0^\pm, 1^\pm, 2^\pm$  multipolaritete, za temperature  $T = 0.5, 1.0, 1.5$  i  $2.0$  MeV

Raspon temperatura koji promatramo je iznad praga prijelaza iz superfluidnog u normalo stanje ( $\sim 0.5$  MeV), te ispod temperature gdje doprinosi Fermijevog plina nukleona postaju značajni ( $\sim 2.5$  MeV) [2]

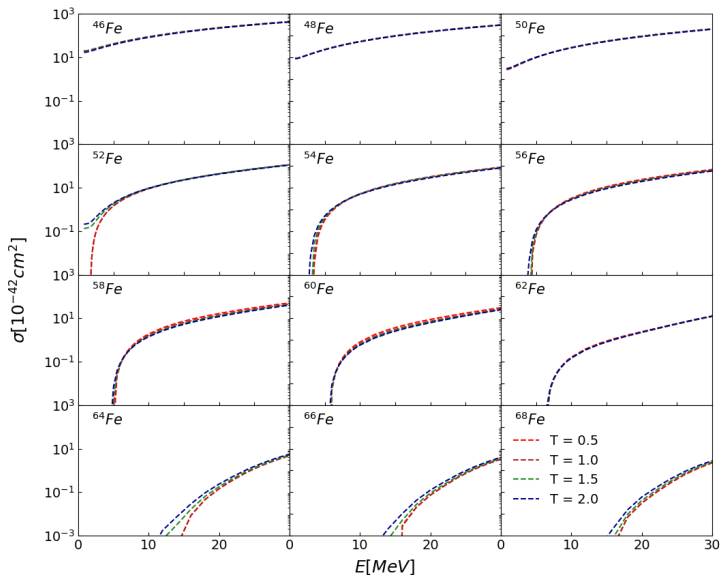
- Ponašanje udarnih presjeka prati ponašanje Gamow-Teller prijelaza



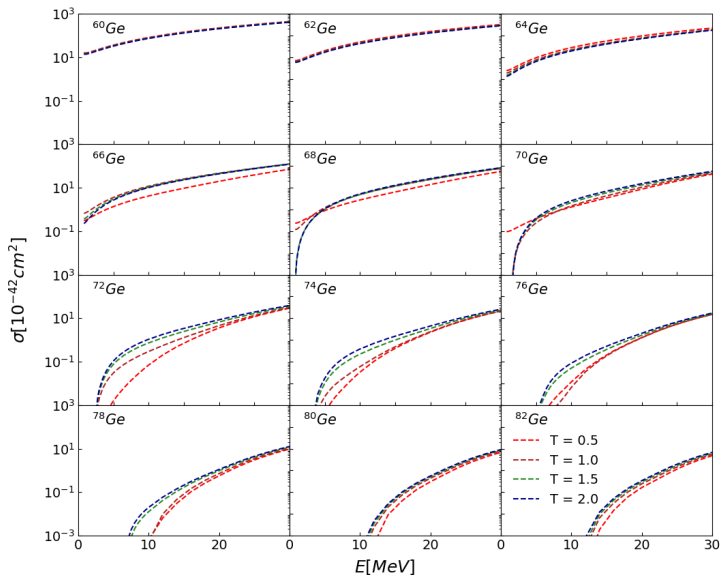
# Slika: Udarni presjeci za prvih pet multipolariteta izotopa željeza



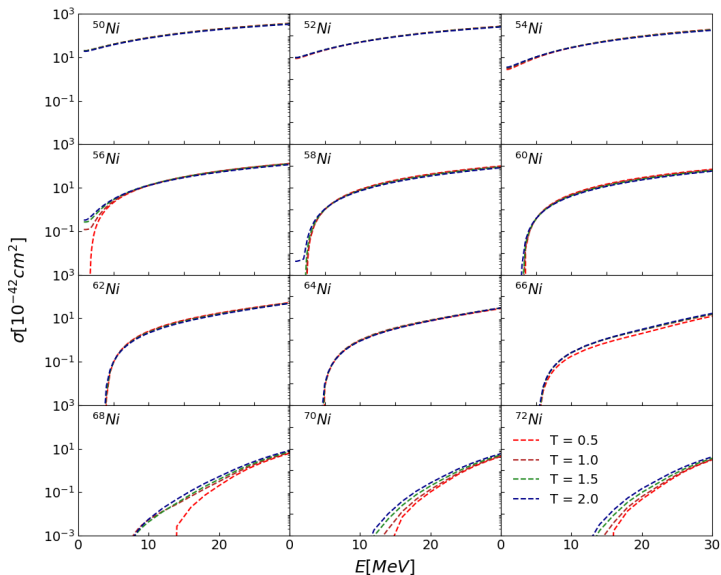
# Slika: Ukupni udarni presjeci na različitim temperaturama za izotope željeza



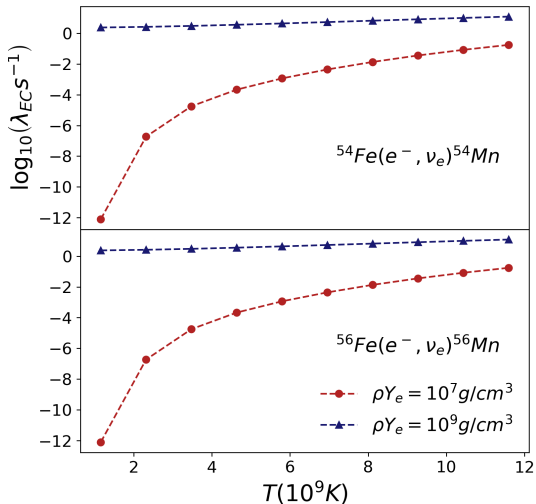
# Slika: Ukupni udarni presjeci na različitim temperaturama za izotope germanija



# Slika: Ukupni udarni presjeci na različitim temperaturama za izotope nikla



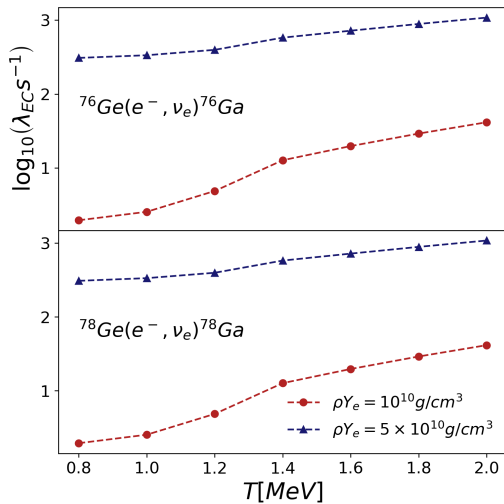
# Stope uhvata za reakcije uhvata elektrona



Slika: Ovisnost logaritma stopa uhvata o temperaturi  $T$  u  $10^9$  K za izotope  $^{54,56}\text{Fe}$  na gustoćama  $\rho Y_e = 10^7$  g/cm<sup>3</sup> i  $\rho Y_e = 10^9$  g/cm<sup>3</sup>. U izračun je uključen samo  $1^+$  GT prijelaz.

Stope uhvata neovisne o temperaturi za dovoljno velike gustoće

# Stope uhvata za reakcije uhvata elektrona



Slika: Ovisnost logaritma stope uhvata o temperaturi  $T$  za izotope  $^{76,78}\text{Ge}$  na gustoćama  $\rho Y_e = 10^{10} \text{ g/cm}^3$  i  $\rho Y_e = 5 \times 10^{10} \text{ g/cm}^3$ . U izračun su uključeni  $J^\pi = 0^\pm, 1^\pm, 2^\pm$  multipolariteti

Snažan skok na  
 $\sim 1.4 \text{ MeV}$  koji odgovara  
deblokiranju nivoa

- samosuglasan račun, gdje smo koristili DD-ME2 funkcional, prilikom RMF+FTRRPA izračuna
- Uočena značajna temperaturna ovisnost spektara Gamow-Teller prijelaza → dominacija  $1^+$  prijelaza kod izotopa željeza
- Temperaturno deblokiranje neutronske stanja  $^{76,78}\text{Ge}$  pri čemu Gamow-Teller prijelazi na višim temperaturama postaju mogući
- Temperaturna ovisnost udarnih presjeka pri nižim energijama upadnog elektrona → izravna posljedica efekata konačne temperature
- Udarni presjeci prate trendove GT prijelaza, a za jezgre bogatije neutronima i zabranjeni prijelazi postaju značajni
- Konzistentnost računa provjerena l'keda pravilom sume, gdje smo za sve izračune dobili slaganje od  $\sim 90\%$

- [1] H. A. Bethe, G. E. Brown, J. Applegate, J. M. Lattimer, Nucl. Phys. A 324, 487 (1979).
- [2] Y. F. Niu, N. Paar, D. Vretenar, J. Meng, Phys. Rev. C 83, 045807 (2011).
- [3] Y. K. Gambhir, P. Ring, A. Thimet, Annals of Physics 198, 132-179 (1990).
- [4] T. Nikšić, N. Paar, D. Vretenar, P. Ring, Comp. Phys. Comm 185; 6, 1808-1821 (2014).
- [5] P. Ring, Prog. Part. Nucl. Phys. 37, 193-263 (1996).
- [6] T. Nikšić, D. Vretenar, P. Finelli, P. Ring, Phys. Rev. C 66, 024306 (2002).
- [7] P. G. Blunden, P. McCorquodale, Phys. Rev. C 38, 4 (1988).
- [8] N. Paar, T. Nikšić, D. Vretenar, P. Ring, Phys. Rev. C 69, 054303 (2004).
- [9] Z. Ma, A. Wandelt, N. V. Giai, D. Vretenar, P. Ring, L. Cao, Nucl. Phys. A 703, 222-239 (2002).
- [10] J. D. Walecka, Theoretical Nuclear and Subnuclear Physics, Imperial College Press, World Scientific Publishing Co. Pte. Ltd. (2004).
- [11] E. Kolbe, K. Langanke, G. Martinez-Pinedo, P. Vogel, J. Phys. G 29, 2569 (2003).
- [12] E. Langanke, E. Kolbe, D. J. Dean, Phys. Rev. C 62, 032801 (2000).